

Федеральное агентство по образованию Российской Федерации

Государственное образовательное учреждение высшего профессионального образования  
"Московский физико-технический институт (государственный университет)"

Выпускная квалификационная работа на степень магистра

**”Динамика инерционных частиц в случайном  
потоке с сильной средней постоянной сдвиговой  
компонентой.”**

Студент 528 гр. Сизов Г.А.

Научный руководитель: д.ф.-м.н. Колоколов И.В.

Черноголовка 2011 г.

## Содержание

1	Введение	2
2	Безынерционная динамика в сдвиговом потоке	3
3	Влияние инерции на динамику частиц	6
4	Диффузия в сдвиговом потоке по действию теплового шума	9
5	Вычисление поправки к Ляпуновской экспоненте	10
6	Седловое приближение для старших моментов	14
7	Заключение	17

# 1 Введение

В этой работе мы рассматриваем динамику маленьких инерционных частиц, погруженных в двумерный случайный поток жидкости. Поток состоит из флуктуаций скорости, наложенных на сильное относительно них сдвиговое течение. Модель такого типа может описывать поведение колоний микроскопических организмов в океане [1] или поведение капель жидкости в теплых облаках [2, 3] (и использоваться, например, для оценки времени до начала выпадения дождя). В обоих случаях частицы (капли или планктон), имеющие плотность, существенно отличную от плотности жидкости, собираются турбулентным течением в кластеры.

Интуитивно, случайное поле скорости должно размешивать погруженные в него частицы и делать плотность их распределения более однородной. Однако, как показывают эксперименты [4] и численный счет [5], на самом деле наблюдается обратный эффект кластеризации частиц. Такое "антиразмешивание" [6] объяснялось в [7] выбрасыванием частиц из областей с высокой кривизной линий течения, из-за которого частицы собираются в областях с меньшей кривизной. Феноменологическая модель этого явления предложена в [8]. При этом существенно, что частицы обладают конечной инерцией: в пренебрежении инерцией частицы бы пассивно переносились жидкостью и в несжимаемом потоке их концентрация оставалась бы постоянной.

Другой механизм для объяснения кластеризации был предложен в [9]. Он работает и тогда, когда поле скорости можно считать гладким и эффект нельзя объяснить только выталкиванием из областей с высокой искривленностью линий течения. Частицы в нашей модели соответствуют каплям в облаке размерами до нескольких десятков микрон. Мы рассматриваем случай, когда типичные расстояния между частицами много больше их размера, но много меньше Колмогоровского масштаба в атмосфере. Поэтому мы будем считать поле скорости гладким в пространстве и коротко-коррелированным во времени, используя так называемую модель Крайчана [10].

Поскольку при наличии инерции скорость частицы больше не определяется локально скоростью жидкости, то даже при несжимаемом поле скорости жидкости поле скоростей частиц может быть сжимаемым. В терминах Ляпуновских экспонент это означает, что их сумма больше не равна 0. Эта сумма определяет меру производства энтропии на единицу объема с обратным знаком, и поэтому всегда неположительна [11, 12, 13].

Существует ряд работ, в которых аналитически изучалось поведение инерционных частиц в изотропном случайном потоке. Из-за сжимаемости поля скорости изначально однородное распределение частиц может стать сильно неоднородным, образовав кластеры и пустоты. Статистика концентрации частиц была изучена в [13]. В [14] изучалось мультифрактальное множество, которое частицы занимали в фазовом пространстве. При этом удобным языком является теория диссипативных динамических систем (тогда как пассивная примесь, переносимая жидкостью, отвечает консервативной динамике). В [15], [16] и [17] была рассмотрена кластеризация частиц при малых числах Стокса в одномерном, двумерном и трехмерном случаях соответственно. Поток состоит из случайных потенциальной и соленоидальной части. Показано, что в этих условиях можно наблюдать фазовый переход. А именно, если сделать инерцию частиц достаточно большой, то первая Ляпуновская экспонента обратится в ноль. Первая Ляпуновская экспонента определяет экспоненциальный рост расстояния между двумя частицами. Положительная экспонента означает разбегание частиц, а отрицательная, наблюдающаяся при достаточно большой инерции означает, что все частицы собираются в одну точку. Изучался также случай тяжелых частиц, движущихся почти баллистически [18, 19].

Часто в экспериментальных и природных системах (например в атмосфере) флуктуирующие потоки существуют на фоне сильного постоянного сдвигового потока ("шира"). Сам по себе сдвиговой поток, естественно, не вызывает экспоненциального роста расстояния между двумя погруженными в него частицами (расстояние растет линейно). Однако, при наличии даже маленьких флуктуаций, поведение частиц качественно изменяется и расстояние начинает экспоненциально расти, причем коэффициент сдвига входит в инкремент роста (первая Ляпуновская экспонента)  $\lambda \sim (Ds^2)^{1/3}$ , где  $D$  — сила флуктуаций, а  $s$  — коэффициент сдвига. Угловая динамика также становится нетривиальной, приобретая характерные перевероты, создающие степенной хвост функции распределения. Этот комбинированный эффект шира и малых флуктуаций изучен в [20, 21].

В этой работе мы изучим систему, в которой присутствуют оба эффекта: частицы имеют

маленькую инерцию, и двумерный поток, который их переносит состоит из флуктуаций на фоне сильного постоянного шира. В модели есть четыре параметра размерности времени: обратная сила флуктуаций  $D^{-1}$ , обратный коэффициент сдвига  $s^{-1}$ , мера инерции частицы  $\tau$  (она же характерное время отклика) и время корреляции скорости. Этим последним временным масштабом мы полностью пренебрегаем, а про остальные параметры предполагаем, что

$$D\tau \ll s\tau \ll 1 \quad (1)$$

В разделах 2 и 3 мы кратко напоминаем, к чему сводится влияние шира и инерции на динамику частиц по отдельности. В разделе 4 мы изучаем диффузию частиц в сдвиговом потоке под действием аддитивного теплового шума. В разделе 5 мы вычисляем поправку к первой Ляпуновской экспоненте, связанную с инерцией. Для этого мы выражаем Ляпуновскую экспоненту как среднее от переменной некоторой стохастической системы. Далее, написав уравнение Фоккера-Планка на функцию распределения вероятности для этой системы, мы преобразуем его к уравнению Шредингера двумерного гармонического осциллятора с неэрмитовым возмущением. Решая это уравнение по теории возмущений и вычисляя среднее, мы получаем ответ, пропорциональный  $-\tau\lambda^2$ , где  $\lambda \sim (Ds^2)^{1/3}$  — Ляпуновская экспонента потока. В разделе 6 мы вычисляем старшие моменты роста расстояния между частицами, используя седловое приближение в функциональном пространстве (метод оптимальной флуктуации) [23]. Как показано в [21], инкременты старших моментов (обобщенные Ляпуновские экспоненты) пропорциональны  $(n^4Ds^2)^{1/3}$ . Мы показываем, что первая поправка к ним из-за наличия инерции равна  $-2n\tau(nDs^2)^{2/3}$ .

## 2 Безынерционная динамика в сдвиговом потоке

Частицы, погруженные в поток жидкости, увлекаются ею за счет силы Стокса. Если плотность каждой частицы близка к плотности жидкости, то движение эффективно безынерционное — скорость частицы в каждый момент времени равна локальной скорости жидкости. В таком приближении мы и будем работать в этом разделе.

Уравнение движения на радиус-вектор частицы имеет вид

$$\dot{\mathbf{r}}(t) = \mathbf{v}(\mathbf{r}(t), t). \quad (2)$$

Нетрудно видеть, что несжимаемый поток не создает неоднородностей плотности, поэтому изначально однородное пространственное распределение частиц остается однородным. Действительно, уравнение непрерывности на плотность имеет вид

$$\frac{\partial \rho}{\partial t} + \text{div}(\rho \mathbf{v}) = 0 \quad (3)$$

Поскольку поле скорости несжимаемо, то скорость можно вынести из-под дивергенции. Тогда видно, что однородное распределение частиц ( $\nabla \rho = 0$ ) является стационарным. Если еще предположить, что примеси не оказывают никакого влияния на скорость жидкости (отсутствие обратной реакции), и добавить диффузию, то получим модель "пассивного скаляра", которая изучалась в работах [24, 25, 26, 27] :

$$\frac{\partial \theta}{\partial t} + (\mathbf{v} \nabla) \theta = \kappa \Delta \theta. \quad (4)$$

Альтернативой изучению динамики поля плотности является изучение статистики вектора расстояния между двумя частицами  $\mathbf{R}(t) = \mathbf{r}_1(t) - \mathbf{r}_2(t)$ . Ниже мы опишем эту статистику в безынерционном пределе, используя результаты работ [20],[21].

В [20] статистика  $\mathbf{R}(t)$  изучалась как часть более общей задачи о динамике полимера в случайном потоке. Полимер моделируется одним вектором  $\mathbf{R}(t)$ , содержащим информацию об его ориентации и степени растяжения. Он подчиняется следующему уравнению

$$\dot{\mathbf{R}} = \sigma \mathbf{R} - \gamma(R)\mathbf{R}, \quad (5)$$

где  $\gamma(R)$  - упругая сила. Угловая динамика точно отображается на угловую динамику вектора между двумя Лагранжевыми частицами, а радиальная — если положить упругую силу равной нулю. В [21] "полимерная" задача была решена аналитически для случая, когда поле скорости коротко-коррелировано во времени.

На масштабах, меньших вязкого, поле скорости можно аппроксимировать линейным профилем, соответственно его градиенты — постоянная в пространстве матрица  $\Sigma_{ij} \equiv \partial_j v_i$  (заметим, что равенству нулю ее следа эквивалентно несжимаемости потока, которую мы везде предполагаем). В этом приближении вектор расстояния между двумя лагранжевыми частицами подчиняется уравнению

$$\dot{\mathbf{R}}(t) = \Sigma(t)\mathbf{R}(t) \quad (6)$$

Нас будет интересовать случай, когда течение состоит из сильного сдвигового течения и флуктуаций на его фоне. Эти последние предполагаются малыми по сравнению со сдвигом, но, несмотря на это, они качественно изменяют динамику системы. Это происходит из-за того, что чисто сдвиговое течение является пограничным в объясняемом ниже смысле.

В зависимости от знака детерминанта  $\Sigma$  течение локально может быть либо растягивающим (гиперболическим), если  $\det \Sigma < 0$ , либо вращающим (эллиптическим), если  $\det \Sigma > 0$ , либо сдвиговым, если  $\det \Sigma = 0$ .

На больших временах динамика  $\mathbf{R}(t)$  определяется свойствами произведения большого количества случайных матриц. Формально это можно увидеть, записав решение (6) в виде

$$\mathbf{R}(t) = \text{Тexp} \left( \int_0^t dt' \Sigma(t') \right) \mathbf{R}(0) \equiv W(t)\mathbf{R}(0), \quad (7)$$

где  $\text{Тexp}$  — хронологически упорядоченная экспонента. Асимптотические свойства матрицы  $W(t)$  удобно характеризовать Ляпуновскими экспонентами  $\lambda_i$ . Рассмотрим базис из собственных векторов  $f_i$  симметричной матрицы  $W^T(t)W(t)$ . Тогда

$$\lambda_i = \lim_{t \rightarrow \infty} t^{-1} \ln |W(t)\mathbf{f}_i| \quad (8)$$

Пронумеруем  $\lambda_i$  в порядке убывания. Сумма первых  $n$  Ляпуновских экспонент равна инкременту роста  $n$ -мерного объема  $n$ -мерных объектов. В частности, первая Ляпуновская экспонента отвечает за рост расстояния между двумя частицами, а сумма всех равна нулю в несжимаемом потоке.

Итак, в растягивающем потоке вектор  $\mathbf{R}$  разворачивается вдоль положительного собственного направления, а его длина растет со временем как  $e^{\lambda_1 t}$ . Во вращающем потоке траекторией  $\mathbf{R}$  является эллипс. Сдвиговый поток, который можно представлять себе как пограничный случай между растягивающим и вращающим течением, сам по себе не растягивет  $\mathbf{R}$  экспоненциально (а лишь линейно), но если на него наложить даже слабую флуктуационную компоненту скорости, вектор  $\mathbf{R}$  начинает экспоненциально расти и приобретает нетривиальную угловую динамику.

Итак, пусть несжимаемое поле скорости жидкости состоит из сдвигового течения вдоль оси  $x$

$$v_x = sy \quad (9)$$

и флуктуационной части  $v_i = \sigma_{ij}R_j$ , так что тензор градиентов скорости имеет вид

$$\Sigma_{ji}(t) = s\delta_{jx}\delta_{iy} + \sigma_{ji}(t). \quad (10)$$

Коррелятор градиентов скорости коротко-коррелирован по времени имеет следующую тензорную структуру, удовлетворяющую условию несжимаемости ( $\text{Tr} \Sigma = 0$ )

$$\langle \sigma_{ik}(t_1)\sigma_{jn}(t_2) \rangle = D(3\delta_{ij}\delta_{kn} - \delta_{ik}\delta_{jn} - \delta_{in}\delta_{jk})\delta(t_1 - t_2). \quad (11)$$

Для удобства мы выбрали изотропную тензорную структуру коррелятора, но вклад в конечный ответ дает только одна компонента  $\sigma$ , а именно  $\sigma_{xy}$ . Как следует из (11), ее коррелятор имеет вид

$$\langle \sigma_{xy}\sigma_{xy} \rangle = 3D\delta(t_1 - t_2) \quad (12)$$

Условие малости флуктуаций по сравнению с широм теперь записывается как  $D \ll s$ . Обозначив за  $\phi$  угол в плоскости сдвига, а  $\rho = \ln R$ , можно записать (6) в виде

$$\begin{cases} \dot{\phi} = \Sigma_{21} \cos^2 \phi - \Sigma_{12} \sin^2 \phi + (\Sigma_{22} - \Sigma_{11}) \sin \phi \cos \phi, \\ \dot{\rho} = \Sigma_{11} \cos^2 \phi + \Sigma_{22} \sin^2 \phi + (\Sigma_{12} + \Sigma_{21}) \sin \phi \cos \phi. \end{cases} \quad (13)$$

Правые части этой системы содержат два вклада: один от постоянной сдвиговой части градиента скорости  $\sigma_{shear} = \begin{pmatrix} 0 & s \\ 0 & 0 \end{pmatrix}$ , а второй флуктуационный, который мы обозначим как  $\begin{pmatrix} \xi_1 \\ \xi_2 \end{pmatrix}$ . Пользуясь коррелятором (11), несложно показать, что  $\xi_1, \xi_2$  - независимые белые шумы. При этом  $\xi_1$  имеет нулевое среднее, а  $\langle \xi_2 \rangle = D$ . В присутствии сильного сдвигового течения мы не будем учитывать эту среднюю силу.

Итак, (6) в новых переменных имеет следующий вид

$$\begin{cases} \dot{\phi} = -s \sin^2 \phi + \xi_1 \\ \dot{\rho} = s \sin \phi \cos \phi + \xi_2 \end{cases} \quad (14)$$

Угловая динамика, определяемая первым уравнением, отцепилась от радиальной, что позволяет написать уравнение Фоккера-Планка на функцию распределения только от угла.

$$\partial_t \mathcal{P}(\phi, t) = \partial_\phi (s \sin^2 \phi + D \partial_\phi) \mathcal{P}(\phi, t) \quad (15)$$

Решая это уравнение, можно выявить основные черты угловой динамики. Большую часть времени  $\phi$  проводит в области малых положительных углов порядка  $\phi_0 = (D/s)^{1/3}$  (углы отсчитываются от направления шира), где  $s$  — коэффициент шира, а  $D$  — сила флуктуаций. Однако, время от времени, когда диффузное блуждание выводит его за границы области малых углов в отрицательную сторону, включается слагаемое  $-s\phi^2$  и происходит переворот — практически детерминированное движение через область больших отрицательных углов, после чего угол долго блуждает около  $\pi + \phi_0$ . Получающаяся в результате этого функция распределения не симметрична относительно замены изменения знака  $\phi$ , имеет максимум на углах порядка  $\phi_0$  и степенной хвост  $\mathcal{P}(\phi) \propto \phi^{-2}$  на углах  $\phi_0 \ll \phi \ll 1$ . Эти результаты получены в [21, 20].

Из второго уравнения (14) видим, что  $\rho$  является экстенсивной величиной — интегралом от стационарного процесса  $Y_1$ . Функция распределения такой величины на больших временах асимптотически стремится к виду  $\exp(-tH(\rho/t))$ , где  $H$  — функция Крамера [22]. Покажем это, следуя [11].

Действительно, пусть  $Y_1$  имеет конечное время корреляции  $\tau$ . На временах, много больших  $\tau$ ,  $\rho$  фактически является суммой  $N = t/\tau$  одинаково распределенных независимых случайных величин. Обозначим одну такую величину за  $y = \int_{t_0}^{t_0+\tau} dt Y_1$ . Введем для нее производящую функцию  $\langle e^{zy} \rangle \equiv e^{S(z)}$ . Тогда мы знаем и производящую функцию  $\rho$ :  $\langle e^{z\rho} \rangle = e^{NS(z)}$ . Теперь при помощи обратного преобразования Лапласа мы можем найти функцию распределения  $\rho$ .

$$\mathcal{P}(\rho) = \frac{1}{2\pi i} \int_{-i\infty}^{i\infty} dz e^{-z\rho + NS(z)} \quad (16)$$

Этот интеграл на больших временах, т.е.  $N \gg 1$ , можно взять методом перевала. Находим значение  $z^*$ , стационарное для показателя, из условия

$$\rho/N = S'(z^*) \quad (17)$$

и подставляем  $z^*$  в показатель. Вводя функцию Крамера как  $H(z) = S(z) - zS'(z)$ , получаем

$$\mathcal{P}(\rho, t) \propto \exp\left(-\frac{t}{\tau} H\left(\frac{\rho}{t}\right)\right). \quad (18)$$

Функция Крамера имеет минимум при  $\rho/t$  равном Ляпуновской экспоненте потока

$$\lambda = \lim_{t \rightarrow \infty} t^{-1} \ln R(t), \quad (19)$$

и квадратично раскладывается около этого значения. Ляпуновская экспонента определяется ростом моментов  $R$  с малым номером:

$$\lambda = \left. \frac{d\lambda_n}{dn} \right|_{n=0}, \quad \langle R^n \rangle \propto e^{\lambda_n t} \quad (20)$$

Мы можем вычислить Ляпуновскую экспоненту, зная угловую функцию распределения

$$\lambda = \langle \dot{\rho} \rangle \approx s \langle \phi \rangle \sim (Ds^2)^{1/3} \quad (21)$$

С другой стороны, поведение  $S(x)$  вдали от минимума пересчитывается в обобщенные Ляпуновские экспоненты (инкременты роста старших моментов).

$$\lambda_n = \lim_{t \rightarrow 0} t^{-1} \ln \langle (R(t)/R(0))^n \rangle \quad (22)$$

Действительно,

$$\langle R^n(t) \rangle = \int d\rho e^{n\rho} e^{-tH(\rho/t)} \quad (23)$$

При  $t \rightarrow \infty$  можно вычислить этот интеграл методом перевала. Находим стационарную точку показателя:  $\rho/t = x_n$ , где  $H'(x_n) = nx_n$ .

$$\langle R^n(t) \rangle \propto e^{\lambda_n t} \sim e^{(nx_n - H(x_n))t} \quad (24)$$

Эти инкременты роста моментов пропорциональны  $(n^4 Ds^2)^{1/3}$  [21]. Заметим, что если бы  $\rho$  была гауссовой случайной величиной, то функция Крамера была бы квадратична и инкременты роста моментов росли бы линейно с номером момента. Мы же наблюдаем нелинейную зависимость инкрементов от  $n$ , что свидетельствует о перемежаемости.

Численное подтверждение этих аналитических результатов представлено в [28],[29].

### 3 Влияние инерции на динамику частиц

Рассмотрим две маленькие сферические частички радиуса  $a$ , помещенные в несжимаемый поток  $\mathbf{u}(r, t)$ . Каждая из них подвержена силе Стокса  $\mathbf{f} = 6\pi\eta a(\mathbf{u}(\mathbf{r}) - \dot{\mathbf{r}})$ . Таким образом, уравнение на радиус-вектор частицы имеет вид

$$m\ddot{\mathbf{r}} = 6\pi\eta a(\mathbf{u}(\mathbf{r}) - \dot{\mathbf{r}}) \quad (25)$$

Пусть расстояние между частицами  $|\mathbf{R}(t)| = |r_1 - r_2|$  много меньше вязкого масштаба турбулентности. Тогда мы можем разложить скорость до линейного порядка, определяемого матрицей градиентов  $\sigma$ :  $\mathbf{u}(\mathbf{r} + \mathbf{R}) - \mathbf{u}(\mathbf{r}) = \sigma\mathbf{R}$  и получать уравнение движения на  $R$

$$\tau\ddot{\mathbf{R}} + \dot{\mathbf{R}} = \sigma\mathbf{R} \quad (26)$$

Здесь мы ввели меру инерции частицы  $\tau$ , имеющую размерность времени ("время отклика"). В случае, когда плотность каждой частицы много больше плотности жидкости, мы можем пренебречь эффектом присоединенной массы, и  $\tau = m/(6\pi\eta a)$ . Мы пренебрегаем взаимодействием частиц (как гидродинамическим, так и из-за столкновений).

При малых числах Стокса частицы следуют по Лагранжевым траекториям, слегка отклоняясь от них, поэтому изменения концентрации незначительны. При очень больших числах Стокса движение частиц почти баллистическое, и концентрация также остается равномерной. При промежуточных числах Стокса могут возникать существенные флуктуации концентрации. За это ответственны два эффекта. Первый связан с тем, что на достаточно больших масштабах линии течения сильно искривлены. За счет того, что инерционные частицы срываются с траекторий, по которым их тащит течение, есть постоянная миграция частиц из областей

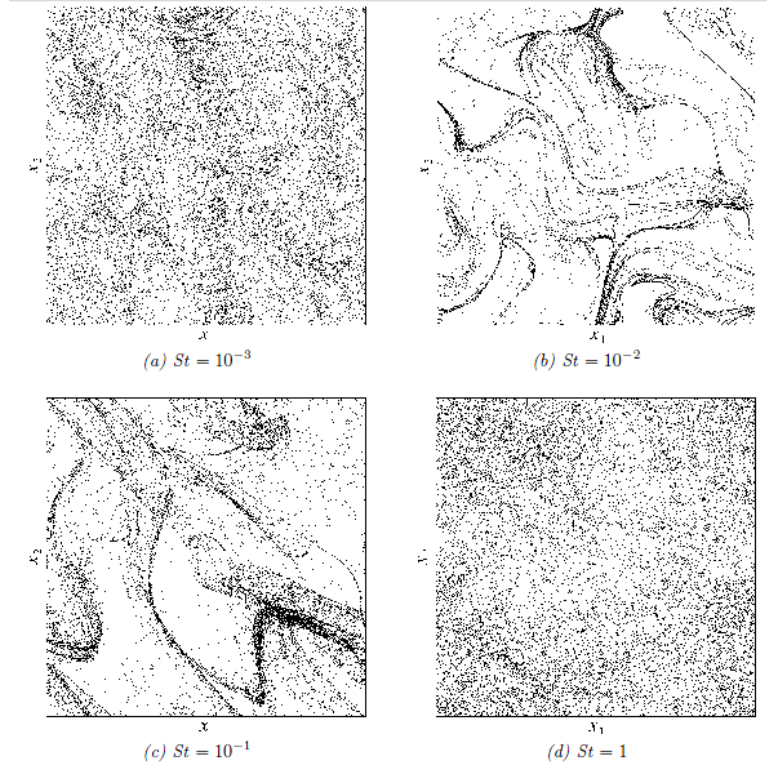


FIGURE 5. Snapshots of the positions of  $N = 10^5$  heavy particles ( $\beta = 0$ ) associated to four different Stokes numbers as labelled. (a), (b) and (c) correspond to values smaller than the threshold, so that particles form fractal clusters. (d) corresponds to a Stokes number larger than the critical value, so that the particles fill the whole domain.

Рис. 1: Образование мультифрактальной структуры [14]

большой кривизны линий тока в области меньшей. Заметим, что при этом области большой концентрации частиц напрямую определяются распределением кривизны линий тока в пространстве, т.е. мгновенным полем скорости. Второй эффект не предполагает наличие корреляций между мгновенным полем скорости и положениями частиц, таким образом он работает даже тогда, когда время корреляции скорости много меньше времени отклика частицы. Динамика инерционных частиц соответствует диссипативной стохастической системе, которая имеет аттрактор в фазовом пространстве. Известно, что [30] если размерность этого аттрактора меньше, чем размерность физического пространства, то почти всегда область, занимаемая частицами в физическом пространстве (естественная проекция аттрактора на физ. пространство) будет иметь такую же размерность.

В литературе имеется зоопарк различных размерностей, характеризующих фрактальные множества. Ниже мы произведем их краткую опись, частично следуя [31].

Фрактальная размерность  $D_F$  определяется как скейлинг количества  $N_F(l)$  шаров радиуса  $l$ , требуемых, чтобы покрыть исследуемое множество при  $l \rightarrow 0$ .

$$N_F(l) \propto l^{-D_F}. \quad (27)$$

Очевидно, фрактальная размерность не превосходит размерности объемлющего пространства  $d$ . Объект называется фрактальным, если она меньше  $d$ .

Пусть объемлющее пространство разбито на  $d$ -мерные кубики со стороной  $l$ , из которых  $N_F$  покрывают наше множество. Наугад взятая точка из множества имеет разные вероятности оказаться в разных кубиках (очевидно, пропорционально их заполненности). Усредним  $q$ -ую степень этих вероятностей по всем кубикам и посмотрим, как полученная величина зависит от  $l$ . В случае общего положения зависимость будет степенной. Показатель степени связан с

размерностью Реньи:

$$\langle p^q(l) \rangle = \sum_{i=1}^{N_F(l)} p_i^{q+1}(l) \propto l^{qd_{q+1}} \quad (28)$$

Если множество, размерность которого мы ищем, - аттрактор диссипативной динамической системы, то есть более удобный на практике способ найти тот же самый скейлинг. Рассмотрим  $M$  точек на траектории нашей системы, взятых через равные промежутки времени и окружим каждую шаром радиуса  $l$ . Усредним количество точек, попавших в один шар, в степени  $q$ .

$$\langle n^q(l) \rangle = \sum_{i=1}^M n_i^q(l) \propto l^{\phi(q)} \quad (29)$$

В предположении эргодичности системы мы можем заменить пространственное усреднение усреднением по ансамблю, поэтому  $\phi(q) = qd_{q+1}$ .

Размерность Реньи является обобщением фрактальной размерности, т.к.  $d_0 = -\phi(-1) = d_F$ .

Полагая  $q = 1$  мы получаем еще одну важную характеристику статистики объекта  $d_2 = \phi(1) = d_2$  - корреляционную размерность. Она является скейлингом с  $l$  вероятности того, что расстояние между двумя частицами меньше, чем  $l$ . Нетрудно понять, что  $d_2 \leq d_F$

Удобный способ вычисления корреляционной размерности следует из ее связи с обобщенными Ляпуновскими экспонентами

$$\lim_{t \rightarrow 0} t^{-1} \ln \langle R^{-d_2}(t) \rangle = \Lambda(-d_2) = 0 \quad (30)$$

Основанный на этом метод вычисления корреляционной размерности для инерционных частиц в случайном потоке разработан в [32]. Наконец, разлагая две последние части определения (28) при  $q \rightarrow 0$ , получаем так называемую информационную размерность  $d_I = d_1 = \phi'(0)$

$$\langle p(l) \ln p(l) \rangle \propto l^{d_I} \quad (31)$$

Размерности не доступны для непосредственного измерения, в отличие от Ляпуновских экспонент. Поэтому в [33] была введена так называемая Ляпуновская размерность  $d_L$ . Пусть сумма первых  $j$  Ляпуновских экспонент положительна, а первых  $j+1$  - отрицательна. Тогда

$$d_L = j + |\lambda_{j+1}|^{-1} \sum_{i=1}^j \lambda_i \quad (32)$$

Ее можно интерпретировать как размерность объектов, не меняющих свой  $d_L$ -мерный объем в среднем на больших временах. Действительно, первая Ляпуновская экспонента отвечает за рост расстояния между двумя частицами, сумма первых двух - за рост площади, натянутой на два вектора, а сумма всех трех - за рост объема (и поэтому она равна 0 в несжимаемом поле скорости). Соотношение (32) линейно интерполирует эту зависимость и определяет размерность, на которой соответствующий инкремент роста равен 0.

Чтобы лучше понять, что говорит набор размерностей Реньи о системе, предположим, что фрактал является однородным. Тогда в (28) можно вынести  $q$  за знак усреднения и увидим, что все размерности Реньи равны фрактальной размерности. Зависимость  $d_q$  от  $q$  свидетельствует о неоднородности фрактала, т.е. о так называемой "мультифрактальности".

Еще одной характеристикой фрактала является Хаусдорфова размерность. Определим сначала Хаусдорфову меру как нижняя грань величины  $\sum_i r_i^d$  по всем покрытиям множества  $X$  шарами, а  $r_i$  - радиусы шаров покрытия. Тогда Хаусдорфова размерность - это нижняя грань таких чисел  $d$ , что  $d$ -мерная Хаусдорфова мера  $C_H^d(X)$  рассматриваемого множества  $X$  равна нулю. Показано, что Ляпуновская размерность является точной верхней гранью Хаусдорфовой размерности.

Как сказано выше, размерность фрактального множества можно оценить с помощью Ляпуновской размерности, которая выражается через Ляпуновские экспоненты. В нашем

двумерном случае  $d = 1 + \lambda_1/|\lambda_2|$ . Считая, что обе Ляпуновские экспоненты приобретают линейные поправки  $\delta\lambda_1, \delta\lambda_2$ , находим дефицит размерности  $\delta d = 2 - d$ :

$$\delta d \approx \frac{\delta\lambda_2 - \delta\lambda_1}{\lambda}. \quad (33)$$

Поправку к первой Ляпуновской экспоненте мы найдем в нашей работе, а поправку ко второй - нет, но в конце раздела 5 покажем как это принципиально можно сделать.

## 4 Диффузия в сдвиговом потоке по действию теплового шума

Рассмотрим динамику расстояния  $R$  между двумя инерционными частицами, которые помещены в постоянный сдвиговой поток и подвержены действию случайной силы  $\xi$ , коротко-коррелированной во времени (например, теплового происхождения).

$$\tau\ddot{\mathbf{R}} + \dot{\mathbf{R}} = \sigma\mathbf{R} + \xi \quad (34)$$

Мы рассматриваем двумерную задачу, и матрица градиентов скорости имеет вид  $\sigma = \begin{pmatrix} 0 & s \\ 0 & 0 \end{pmatrix}$ .

Обезразмериваем время и интенсивность шира на  $\tau$ :  $t \rightarrow t/\tau$ ,  $s \rightarrow s\tau$ . Уравнение второго порядка для вектора из конфигурационного пространства можно заменить эквивалентным уравнением первого порядка в фазовом пространстве. Для этого введем вектор  $\mathbf{Q} = (x, y, v_x, v_y)$  и матрицу, описывающую его эволюцию

$$\Sigma = \left( \begin{array}{c|c} 0 & 1 \\ \hline \sigma & -1 \end{array} \right) \quad (35)$$

аналогично тому как матрица  $\sigma$  описывает эволюцию вектора  $\mathbf{R}$ . Тогда

$$\dot{\mathbf{Q}} = \Sigma\mathbf{Q} + \xi \quad (36)$$

Решение этого уравнения для каждой реализации шума  $\xi$  имеет явный вид

$$\mathbf{Q}(t) = \int_0^t dt' W(t-t')\xi(t'), \quad (37)$$

где

$$W(t) = \exp(\Sigma t) = \begin{pmatrix} 1 & s(-1+t+e^{-t}) & 1-e^{-t} & s(2e^{-t}-2+t(1+e^{-t})) \\ 0 & 1 & 0 & 1-e^{-t} \\ 0 & s(1-e^{-t}) & e^{-t} & s(e^{-t}+1-te^{-t}) \\ 0 & 0 & 0 & e^{-t} \end{pmatrix} \quad (38)$$

Матрица корреляций "удвоенного" шума

$$M(t) = D \left( \begin{array}{c|c} 0 & 0 \\ \hline 0 & \delta(t)\mathbf{1} \end{array} \right) \quad (39)$$

позволяет вычислить матрицу корреляций вектора  $\mathbf{Q}$

$$\langle Q_i(t)Q_j(t) \rangle = \left( \int_0^t dt' W(t-t')M(t-t')W^T(t-t') \right)_{ij} \quad (40)$$

Используя для  $W(t)$  явный вид (38), выписываем матрицу  $\langle Q_i(t)Q_j(t) \rangle$  с точностью до членов порядка  $O(e^{-t/\tau})$

$$D \left( \begin{array}{cccc} t + \frac{1}{3}s^2t^3 - \frac{3}{2} - 2s^2t^2 + 4s^2t - \frac{3}{4}s^2 & \frac{11}{4}s - 2st + \frac{1}{2}st^2 & \frac{1}{2} + 2s^2 - 2s^2t + \frac{1}{2}s^2t^2 & \frac{1}{4}s \\ \frac{11}{4}s - 2st + \frac{1}{2}st^2 & t - \frac{3}{2} & -\frac{9s}{4} + st & \frac{1}{2} \\ \frac{1}{2} + 2s^2 - 2s^2t + \frac{1}{2}s^2t^2 & -\frac{9s}{4} + st & \frac{1}{2} - \frac{11}{4}s^2 + s^2t & \frac{1}{4}s \\ \frac{1}{4}s & \frac{1}{2} & \frac{1}{4}s & \frac{1}{2} \end{array} \right)$$

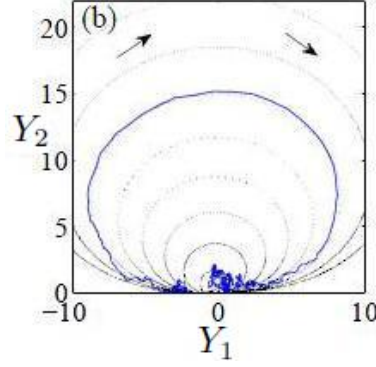


Рис. 2: Типичная динамика  $Y_1, Y_2$  в изотропном случайном потоке [19]

Выпишем в явном виде моменты координат (все размерности восстановлены)

$$\begin{cases} \langle x^2 \rangle = Dt + \frac{1}{3}Ds^2t^3 - D\tau\left(\frac{3}{2} - s^2t^2\right) + 4D\tau^2s^2t - \frac{3}{4}D\tau^3s^2 + O(e^{-t/\tau}) \\ \langle y^2 \rangle = Dt - \frac{3}{2}D\tau + O(e^{-t/\tau}) \\ \langle xy \rangle = \frac{1}{2}Dst^2 - 2D\tau st + \frac{11}{4}D\tau^2s + O(e^{t/\tau}) \end{cases} \quad (41)$$

## 5 Вычисление поправки к Ляпуновской экспоненте

В этом разделе мы вычислим поправку к Ляпуновской экспоненте. Мы построим систему стохастических уравнений, такую, что Ляпуновская экспонента будет даваться средним от одной из переменных. Соответствующее этой системе уравнение Фоккера-Планка мы сведем к уравнению Шредингера и будем строить в нем теорию возмущений по малой инерции. Нулевой порядок теории возмущений воспроизводит уравнение Фоккера-Планка в безинерционном пределе, соответствующее уравнениям Ланжевена (50). Следующие порядки теории возмущений дают поправки к функции распределения и соответственно поправки к Ляпуновской экспоненте.

Поскольку порядок уравнения (26) в два раза больше порядка безинерционного уравнения (6), то кроме переменных  $\phi, \rho$ , входящих в систему (14), в систему входят  $Y_1 = \dot{\rho}, Y_2 = \dot{\phi}$ . Тогда (26) записывается так

$$\begin{cases} \tau\dot{Y}_1 = -Y_1 + \tau(Y_2^2 - Y_1^2) + s \sin \phi \cos \phi + \xi_1 \\ \tau\dot{Y}_2 = -Y_2 - 2\tau Y_1 Y_2 - s \sin^2 \phi + \xi_2 \\ \dot{\phi} = Y_2 \end{cases} \quad (42)$$

Как и в (14), изначально мультипликативный шум стал аддитивным. Это достигнуто ценой того, что уравнения стали нелинейными.

Совместная функция распределения величин  $\phi, Y_1, Y_2$ , порождаемая уравнениями Ланжевена (42) удовлетворяет уравнению Фоккера-Планка  $\tau\partial_t P(\phi, Y_1, Y_2, t) = \hat{L}P(\phi, Y_1, Y_2, t)$ , где оператор  $\hat{L}$  имеет вид

$$\begin{aligned} \hat{L} = -\tau Y_2 \partial_\phi + \partial_1 \left( Y_1 - s \sin \phi \cos \phi + \frac{D}{\tau} \partial_1 \right) + \partial_2 \left( Y_2 + s \sin^2 \phi + \frac{D}{\tau} \partial_2 \right) + \\ + \tau \partial_1 (Y_1^2 - Y_2^2) + 2\tau Y_1 \partial_2 Y_2 \end{aligned} \quad (43)$$

Мы ожидаем, что на больших временах  $P(\phi, Y_1, Y_2, t)$  выходит на стационарное неравновесное решение, тогда как  $\rho = \int dt Y_1$  растет со стационарным инкрементом. Поэтому мы будем искать нулевые моды оператора  $\hat{L}$ . Для удобства вычислений по теории возмущений мы перейдем от уравнения Фоккера-Планка к уравнению Шредингера. Сделаем подстановку

$$P(\phi, x_1, x_2) = Q(\phi, x_1, x_2) \exp(-x_1^2/4 - x_2^2/4), \quad (44)$$

, где  $x_1 = \sqrt{\tau/D}(Y_1 - s \sin \phi \cos \phi)$ ,  $x_2 = \sqrt{\tau/D}(Y_2 + s \sin^2 \phi)$

Оператор  $\hat{L}$  преобразуется в гамильтониан следующим образом

$$\hat{H} = -e^{(x_1^2+x_2^2)/4} \hat{L} e^{-(x_1^2+x_2^2)/4} = -\epsilon \left[ 4x_1 - x_2^2/2 - x_1x_2^2/2 - x_2\partial_\phi + 2x_1x_2\partial_2 + (x_1^2 - x_2^2)\partial_1 + \right. \\ \left. + \alpha \left( (4 - x_1^2 + 2x_1\partial_1) \frac{\sin 2\phi}{2} - \frac{x_1x_2}{2} + \phi^2\partial_\phi - 2\phi^2x_1\partial_2 + x_2\partial_1 + 2\phi^2x_2\partial_1 \right) \right] - \left( \Delta - \frac{x_1^2+x_2^2}{4} + 1 \right),$$

где  $\epsilon = \sqrt{D\tau}$ ,  $\alpha = s\sqrt{\tau/D}$ . Мы предполагаем, что  $\epsilon \ll 1$  и  $\alpha\epsilon \ll 1$ . Итоговый гамильтониан  $\hat{H}$  соответствует двумерному гармоническому осциллятору с неэрмитовым возмущением. Выразим его через осцилляторные операторы рождения-уничтожения  $\hat{a} = x/2 + \partial_x$ ,  $\hat{a}^\dagger = x/2 - \partial_x$

$$\begin{cases} \hat{H}^{(0)} = a_1^\dagger a_1 + a_2^\dagger a_2 \\ \hat{H}^{(1)} = -\epsilon \left[ -x_2\partial_\phi - a_1^\dagger a_1^2 - 2a_1^{\dagger 2} a_1 - a_1^{\dagger 3} + a_1^\dagger (a_2^2 - a_2^{\dagger 2}) - 2a_2^\dagger a_1 (a_2 + a_2^\dagger) \right] \propto \sqrt{\tau} \\ \hat{H}^{(2)} = -\epsilon\alpha \left[ 2\sin 2\phi - a_1^\dagger a_2 + 2a_1 a_2^\dagger \sin^2 \phi + \sin^2 \phi \partial_\phi - a_1^\dagger a_2^\dagger \cos 2\phi - x_1 a_1^\dagger \sin 2\phi \right] \propto \tau \end{cases} \quad (45)$$

Ниже мы найдем поправки к волновой функции основного состояния, используя теорию возмущений по малому параметру  $\epsilon$ . Заметим, что мы имеем дело с вырождением, т.к.  $\hat{H}_0$  не затрагивает  $\phi$ , и его волновые функции могут иметь произвольную угловую зависимость. Секулярное уравнение, определяющее правильную волновую функцию нулевого приближения, совпадает со стационарным уравнением Фоккера-Планка безынерционной задачи.

Мы ищем новое основное состояние в виде разложения по базису невозмущенных осцилляторных собственных функций

$$Q(x_1, x_2, \phi) = \sum_n f_n(\phi) |n\rangle. \quad (46)$$

Обозначим как  $f_{nm}^{(k)}$  поправку  $k$ -го порядка к функции  $f(\phi)$ , соответствующей осцилляторным числам заполнения  $n, m$ . Исходя из физического смысла,  $f_{00} \sim 1$ , а все остальные  $f_i$  малы по крайней мере как  $O(\epsilon)$ . Подставляя разложение (46) в уравнение Шредингера, получаем следующую систему уравнений:

$$\left( H_{nk} + E_k^{(0)} \delta_{nk} \right) f_k(\phi) = 0, \quad E_k^{(0)} = k_1 + k_2 \quad (47)$$

Мы ввели обозначение  $H_{nk} \equiv \langle n_1 n_2 | \hat{H} | k_1 k_2 \rangle$  для матричных элементов  $\hat{H}$  между невозмущенными осцилляторными состояниями (заметим, что с точки зрения угловой динамики они действуют как дифференциальные операторы по  $\phi$ ).

Раскладывая систему (47) по  $\epsilon$  последовательно порядок за порядком, мы можем найти  $f_n$ , соответствующие возбужденным состояниям, т.е. состояниям с  $n_1 + n_2 > 0$ .

$$\begin{cases} f_n^{(1)} = -\frac{H_{n0}^{(1)}}{E_n} f_{00}^{(0)}, \\ f_n^{(2)} = \left( -\frac{H_{n0}^{(2)}}{E_n} + \sum_k \frac{H_{nk}^{(1)} H_{k0}^{(1)}}{E_n E_k} \right) f_{00}^{(0)} \\ f_n^{(3)} = \left( \sum_k \frac{H_{nk}^{(2)} H_{k0}^{(1)} + H_{nk}^{(1)} H_{k0}^{(2)}}{E_n E_k} - \sum_{k,m} \frac{H_{nk}^{(1)} H_{km}^{(1)} H_{m0}^{(1)}}{E_n E_k E_m} \right) f_{00}^{(0)} - \frac{H_{n0}^{(3)}}{E_n} f_{00}^{(2)} \end{cases} \quad (48)$$

Здесь и в дальнейшем суммирование по индексам  $n, k, m$  происходит по всем собственным состояниям двумерного осциллятора, кроме основного.

Заметим, что  $H^{(2)}$  меняет четность суммы осцилляторных квантовых чисел  $n_1 + n_2$ , а  $H^{(1)}$  инвертирует ее, поэтому  $f_n$  с четным  $n_1 + n_2$  имеют поправки только четного порядка по  $\sqrt{\tau}$ , и наоборот.

Разлагая (47) до второго порядка, мы получаем уравнение на правильную волновую функцию основного состояния  $f_{00}$

$$H_{00}^{(2)} f_{00}^{(0)} = \frac{H_{0k}^{(1)} H_{k0}^{(1)}}{E_k} f_{00}^{(0)} \quad (49)$$

В это уравнение входят следующие ненулевые матричные элементы:  $\langle 00|H|00\rangle = -\alpha\partial_\phi \sin^2 \phi$  и  $\langle 00|H|01\rangle = \langle 01|H|00\rangle = -\epsilon\partial_\phi$ . Подставляя их в (49), получаем явный вид уравнения на  $f_{00}^{(0)}$ . Оно совпадает со стационарным уравнением Фоккера-Планка на угловую функцию в безынерционной динамике (14)

$$\partial_\phi(s \sin^2 \phi + D\partial_\phi)f_{00}^{(0)} = 0. \quad (50)$$

Это уравнение было проанализировано в работе [21]. Нормированная функция распределения в области малых углов имеет вид  $(s/D)^{1/3}F((s/D)^{1/3}\phi)$ , где

$$F(\eta) = C \int_0^\infty d\xi \exp(-\eta^3/3 - (\xi - \eta)^3/3), \quad C = \frac{2\sqrt{\pi}\Gamma(1/6)}{3^{5/6}} \quad (51)$$

Используя эту функцию распределения, можно показать, что безынерционная Ляпуновская экспонента  $\lambda = s\langle\phi\rangle$  равна

$$\lambda = \frac{\sqrt{\pi} 3^{1/3}}{\Gamma(1/6)} D^{1/3} s^{2/3}. \quad (52)$$

Для вычисления первой поправки к этому значению нам нужно найти  $f_{00}^{(2)}$  (поправки нечетного порядка к  $f_{00}$  равны нулю). Для этого придется разложить (47) до 4ого порядка.

$$H_{00}^{(2)} f_{00}^{(2)} = - \left( \sum_{n,m} \frac{H_{0n}^{(1)} H_{nm}^{(2)} H_{m0}^{(1)} + H_{0n}^{(1)} H_{nm}^{(1)} H_{m0}^{(2)} + H_{0n}^{(2)} H_{nm}^{(1)} H_{m0}^{(1)}}{E_n E_m} - \sum_{n,m,k} \frac{H_{0n}^{(1)} H_{nm}^{(1)} H_{mk}^{(1)} H_{k0}^{(1)}}{E_n E_m E_k} \right) f_{00}^{(0)} \quad (53)$$

Используя явный вид гамильтониана, можно раскрыть оператор в правой части

$$-\tau^2 (Ds (-\partial_\phi \sin 2\phi \partial_\phi + \partial_\phi \cos 2\phi - \partial_\phi \sin \phi \partial_\phi \sin \phi \partial_\phi) - D^2 (2\partial_\phi^2 + \partial_\phi^4)) \quad (54)$$

Слагаемое со второй производной можно включить в перенормировку интенсивности флуктуаций  $D : D' = D(1 + 2D\tau)$ .

Разлагаем (53) при малых  $\phi$  и ищем решение в форме  $f_{00}^{(2)} = (s/D)^{1/3}F^{(2)}((s/D)^{1/3}\phi)$ . В главном порядке по  $D/s$  уравнение принимает вид:

$$(\partial_\eta \eta^2 + \partial_\eta^2) F^{(2)}(\eta) = -\tau(Ds^2)^{1/3} (-\partial_\eta + \partial_\eta \eta \partial_\eta \eta \partial_\eta + 2\partial_\eta \eta \partial_\eta + \partial_\eta^4) F^{(0)}(\eta) \quad (55)$$

Нас интересует решение этого уравнения, не изменяющее общую нормировку, т.е.  $\int d\phi F^{(2)}(\phi) = 0$ . Его явный вид:

$$F^{(2)}(\eta) = \tau(Ds^2)^{1/3} e^{-\eta^3/3} \int_{-\infty}^{\eta} d\eta_1 e^{\eta_1^3/3} \int_{-\infty}^{+\infty} d\eta_2 e^{-\eta_2^3/3} \int_{-\infty}^{\eta_2} d\eta_3 e^{\eta_3^3/3} (h(\eta_1) - h(\eta_3)), \quad (56)$$

где  $h(\eta) = (1 - 3\eta\partial_\eta - \eta^2\partial_\eta - \partial_\eta^3) F^{(0)}(\eta)$

Наша цель в этом разделе - вычислить Ляпуновскую экспоненту. Она следующим образом выражается через средние от динамических переменных системы (42)

$$\langle Y_1 \rangle = s\langle\phi\rangle + \sqrt{D/\tau}\langle x_1 \rangle \quad (57)$$

Зная поправку (56) к угловой функции распределения, мы можем узнать, как сдвинулся средний угол

$$\langle\phi\rangle = \int dx_1 dx_2 d\phi \exp\left(-\frac{x_1^2 + x_2^2}{4}\right) Q(x_1, x_2, \phi) = \int_0^{2\pi} \phi f_{00}(\phi) d\phi = \langle\phi\rangle_0 + \int_0^{2\pi} \phi f_{00}^{(2)}(\phi) d\phi \quad (58)$$

$\delta\phi = (D/s)^{1/3} \int d\eta \eta F^{(2)}(\eta) = -C_1 \tau (D^2 s)^{1/3}$ , где

$$C_1 = - \int_{-\infty}^{+\infty} d\eta \eta e^{-\eta^3/3} \int_{-\infty}^{\eta} d\eta_1 e^{\eta_1^3/3} \int_{-\infty}^{+\infty} d\eta_2 e^{-\eta_2^3/3} \int_{-\infty}^{\eta_2} d\eta_3 e^{\eta_3^3/3} (h(\eta_1) - h(\eta_3)) \approx 9.8 \quad (59)$$

Таким образом, поправка к Ляпуновской экспоненте за счет изменения среднего угла  $\delta\lambda_1 = s\delta\phi = -C_1 \tau (Ds^2)^{2/3}$

Вторая поправка к Ляпуновской экспоненте связана с тем, что средней  $Y_1$  больше не равен  $s\langle\phi\rangle$ , как это было в безынерционном случае.

$$\langle x_1 \rangle = \int dx_1 dx_2 d\phi x_1 \exp\left(-\frac{x_1^2 + x_2^2}{4}\right) Q(x_1, x_2, \phi) = \int f_{10}(\phi) d\phi \quad (60)$$

Полные производные после интегрирования исчезают, поэтому поправки первого порядка  $f_{10}^{(1)} \propto \partial_\phi f_{00}^{(0)}$  не вносят вклад в  $\langle x_1 \rangle$ . Поправка второго порядка равна нулю, рассмотрим третий порядок (48):

$$f_{10}^{(3)} = - \left( \epsilon^2 \alpha \partial_\phi \left( 1 + \frac{1}{2} \cos 2\phi \right) + \epsilon^2 \alpha \sin 2\phi + \frac{2}{3} \epsilon^3 \partial_\phi^2 \right) f_{00}^{(0)} \quad (61)$$

$$\langle x_1 \rangle = -\epsilon^2 \alpha \int d\phi \sin 2\phi f_{00}^{(0)}(\phi) \quad (62)$$

$$\delta\lambda_2 = \sqrt{\frac{D}{\tau}} \langle x_1 \rangle = -2Ds\tau \langle \phi \rangle = -2D\tau (Ds^2)^{1/3} \ll \delta\lambda_1 \quad (63)$$

Видим, что поправкой за счет ненулевого  $\langle x_1 \rangle$  можно пренебречь по сравнению с поправкой за счет изменения среднего угла.

Используя (52), представим ответ в виде

$$\delta\lambda/\lambda = -\frac{C_1 \Gamma^2(1/6)}{\pi 3^{2/3}} \lambda \tau \approx -46.5 \lambda \tau \quad (64)$$

Таким образом, мы вычислили линейную поправку к первой Ляпуновской экспоненте. Она отрицательна (как упоминалось во введении, это связано с неотрицательностью производства энтропии) и в главном порядке по  $D/s$  пропорциональна  $\tau\lambda^2$ . Отрицательность поправки к Ляпуновской экспоненте означает, что инерция частиц уменьшает интенсивность перемешивания.

Мы не вычисляем здесь вторую Ляпуновскую экспоненту, но скажем об этом пару слов. Аналогично тому, как сделано в [6], используем тот факт, что сумма первых двух Ляпуновских экспонент определяет рост площади треугольника, натянутого на два вектора:

$$\lambda_1 + \lambda_2 = \lim_{t \rightarrow \infty} t^{-1} \ln |[\delta r_1 \times \delta r_2]| \quad (65)$$

Тогда можно рассмотреть систему из трех частиц с радиус-векторами  $\mathbf{r}_1, \mathbf{r}_2, \mathbf{r}_3$  и ввести вектора  $R' = \mathbf{r}_1 - \mathbf{r}_3$  и  $R'' = \mathbf{r}_2 - \mathbf{r}_3$ . Каждый из них будет подчиняться уравнению (26). Переходя в полярную систему координат, получим две системы уравнений, аналогичные (42) на переменные  $Y_1', Y_2', \rho', \phi', Y_1'', Y_2'', \rho'', \phi''$ . Площадь треугольника, натянутого на вектора  $\mathbf{R}', \mathbf{R}''$ , будет выражаться как  $S = 1/2 R' R'' \sin(\phi' - \phi'')$ , а ее логарифмическая производная

$$\dot{S}/S = \dot{R}'/R' + \dot{R}''/R'' + \frac{Y_2' - Y_2''}{\phi' - \phi''}. \quad (66)$$

Здесь мы считаем, что траектории  $r_1, r_2, r_3$  еще не разошлись достаточно сильно, поэтому  $|\phi' - \phi''| \ll 1$ . Возьмем среднее от обеих частей. Слева, как следует из (65), получим сумму Ляпуновских экспонент.

$$\lambda_1 + \lambda_2 = Y_1' + Y_1'' + \left\langle \frac{Y_2' - Y_2''}{\phi' - \phi''} \right\rangle \quad (67)$$

Первые два слагаемых мы уже знаем, а последнее - нет. Оно и представляет собой нетривиальную часть задачи о вычислении второй Ляпуновской экспоненты.

## 6 Седловое приближение для старших моментов

В предыдущем разделе мы вычислили Ляпуновскую экспоненту, которая определяется моментами расстояния с малым номером (20), а этом разделе мы вычислим  $\lambda_n$  - инкременты роста старших моментов расстояния (обобщенные Ляпуновские экспоненты).

$$\langle R^{2n}(t) \rangle \propto e^{\lambda_{2n} t}, \quad n \gg 1 \quad (68)$$

При вычислении мы будем пользоваться методом оптимальной флуктуации (инстантонным методом). Этот метод был разработан в [23] для нахождения функций распределения вероятности в задачах стохастической гидродинамики, см. также [34] и [35]. В работе [36] с его помощью найдены скейлинговые экспоненты структурных функций пассивного скаляра.

Инстантонный метод является бесконечномерным обобщением метода перевала и состоит в следующем: мы предполагаем, что основной вклад в среднее от интересующей нас величины набирается в окрестности одной траектории, которая является стационарной для действия. Тогда искомое среднее пропорционально вероятности появления этой оптимальной траектории. Аналогия с конечномерным случаем делается явной, если записать среднее в виде функционального интеграла по траекториям. Пусть мы вычисляем моменты некоторой величины  $X(t)$ , которая имеет заданую плотность вероятности реализации траектории  $\mathcal{P}[X] = \exp(-\mathcal{F}[X])$

$$\langle X^n(t) \rangle = \int DX X^n(t) e^{-\mathcal{F}[X]} \quad (69)$$

По аналогии с конечномерным случаем, можно предположить, что основной вклад дают стационарные точки показателя, т.е. траектории, удовлетворяющие уравнению

$$\frac{\delta}{\delta X} (-\mathcal{F}[X] + n \ln X) = 0 \quad (70)$$

При этом нужно проверить, что показатель подынтегрального выражения достаточно быстро убывает (или осциллирует, в случае мнимой экспоненты) при удалении от оптимальной траектории. Часто на практике это реализуется при больших характерных временах и  $n \gg 1$ .

Нас будут интересовать моменты величины  $R(t)$ , которая выражается из решения системы (42) как  $\exp(\int dt Y_1)$ . Различные траектории этой системы соответствуют различным реализациям шума  $\xi_1(t), \xi_2(t)$ , поэтому

$$\langle R^{2n}(t) \rangle = \int D\xi_1 D\xi_2 R^{2n} \mathcal{P}[\xi_1] \mathcal{P}[\xi_2] \quad (71)$$

где  $\mathcal{P}$  - это вероятностная мера для белого шума

$$\mathcal{P}[\xi] = \exp\left(-\frac{1}{2D} \int_0^t dt' \xi^2\right) \quad (72)$$

Поскольку в системе (42) шум выражается через переменные  $Y_1, \phi$ , то в (71) можно перейти от интегрирования по траекториям шума  $D\xi_1 D\xi_2$  к интегрированию по  $DY_1 D\phi$ .

$$\langle R^{2n}(t) \rangle = \int DY_1 D\phi e^{-S[Y_1, \phi]} \quad (73)$$

Действие получается подстановкой в (72) уравнений Ланжевена (42)

$$S[Y_1, \phi] = \int dt \left[ \left( -\tau \dot{Y}_1 - Y_1 + \tau(\dot{\phi}^2 - Y_1^2) + s \sin \phi \cos \phi \right)^2 + \left( -\tau \ddot{\phi} - \dot{\phi} - 2\tau Y_1 \dot{\phi} - s \sin^2 \phi \right)^2 \right] \quad (74)$$

Следуя методу оптимальной флуктуации, мы получим уравнения движения для оптимальной траектории, проварьировав действие (74). Решение этих уравнений  $\phi^*(t), Y_1^*(t)$  подставим в действие, и в главном порядке среднее (73) будет пропорционально  $\exp(-S[\phi^*(t), Y_1^*(t)])$  при больших временах для  $n \gg 1$ .

Для удобства, ниже мы проведем эту процедуру для несколько более общего вида уравнений Ланжевена, чем (42), что позволит потом рассматривать как инерционный, так и безинерционный случаи аналогично.

Рассмотрим следующую систему стохастических уравнений

$$\begin{cases} Y_1 = f_1(\phi) + \xi_1 \\ \dot{\phi} = f_2(\phi) + \xi_2, \end{cases} \quad (75)$$

где шумы  $\xi_1, \xi_2$  - случайные процессы с коррелятором

$$\langle \xi_1(t_1) \xi_j(t_2) \rangle = D \delta_{ij} \delta(t_1 - t_2) \quad (76)$$

Выпишем соответствующее действие

$$\begin{aligned} S[\phi(t), Y_1(t)] &= \frac{1}{2D} \int_0^t dt' (\xi_1^2 + \xi_2^2) - 2n\rho = \\ &= \int_0^t dt' \left( \frac{1}{2D} (Y_1 - f_1(\phi))^2 + \frac{1}{2D} (\dot{\phi} - f_2(\phi))^2 - 2nY_1 \right) \end{aligned} \quad (77)$$

Проварьировав это действие по  $\delta Y_1, \delta \phi$ , получим уравнения движения и граничные условия

$$\begin{cases} Y_1 - f_1 = 2nD \\ \ddot{\phi} = f_2 \frac{\partial f_2}{\partial \phi} - 2nD \frac{\partial f_1}{\partial \phi} \\ (\dot{\phi} - f_2(\phi))|_{0,t} = 0 \end{cases} \quad (78)$$

В общем случае у действия (77) может быть больше одной стационарной траектории. Нас интересуют только те из них, на которых действие достигает минимального значения. В частности, это означает, что вторая вариация действия около искомой траектории должна быть положительна. Варьируя (77) два раза, получаем

$$\delta^2 S = \frac{1}{2D} \int dt (f_1^2 + f_2^2)'' (\delta\phi)^2 \quad (79)$$

Поскольку это должно выполняться для любых малых вариаций  $\delta\phi$ , условие минимальности действия на траектории выглядит так:

$$(f_1^2 + f_2^2)'' > 0 \quad (80)$$

Второе уравнение в (78) можно интерпретировать как уравнение движения материальной точки в потенциале

$$U(\phi) = 2nD f_1(\phi) - f_2^2(\phi)/2, \quad (81)$$

при этом первый интеграл этого уравнения будет соответствовать сохраняющейся энергии

$$(\dot{\phi})^2/2 + U(\phi) = E \quad (82)$$

Отсюда мы получаем в неявной форме решение для оптимальной траектории  $t = \int \frac{d\phi}{\sqrt{E-U(\phi)}}$ , которое подставляем в действие

$$\begin{aligned} S &= - \int_0^t dt' \left( -\frac{1}{2D} \left( f_2(\phi) - \sqrt{2E - 4nD f_1(\phi) + f_2^2(\phi)} \right)^2 + 2Dn^2 + 2n f_1 \right) = \\ &= \frac{1}{D} \int_0^t dt' (f_2^2(\phi) + 4nD f_1(\phi)) - 2Dn^2 t - \frac{1}{D} f_2(\phi) \phi|_0^t + Et/D \end{aligned}$$

Используя выражение для потенциала (81), мы можем переписать интегральное слагаемое в последнем выражении как  $2U(\phi) = 2E - \dot{\phi}^2$ . Получаем следующее выражение для инкрементов роста  $\lambda_{2n}$  при произвольных  $f_1, f_2$

$$\lambda_{2n}t = -\frac{1}{D} \int_0^t dt' \dot{\phi}^2 + \frac{1}{D} f_2(\phi) \phi|_0^t + Et/D + 2Dn^2t. \quad (83)$$

Теперь конкретизируем наши рассуждения применительно к безынерционному случаю, т.е. положим  $\tau = 0$  в (42). Сравнивая (75) и (14), видим, что  $f_1(\phi) = s \sin \phi \cos \phi$ ,  $f_2(\phi) = -s \sin^2 \phi$ . Потенциал для соответствующей задачи о движении материальной точки имеет вид  $U(\phi) = nDs \sin 2\phi - s^2 \sin^4 \phi/2$ , а рост  $\rho$  определяется инкрементом

$$Y_1 = 2nD + s \sin \phi \cos \phi \quad (84)$$

Как мы увидим в дальнейшем, основные события будут разворачиваться вблизи его максимума  $\phi_m = (nD/s)^{1/3}$ . Граничные условия  $\sin 2\phi(0) = \sin 2\phi(t) = \frac{E}{nDs}$  имеют два семейства решений

$$\phi(t) = \phi(0) + \pi n \quad (85)$$

$$\phi(t) = \pi/2 - \phi(0) + \pi n \quad (86)$$

Обе серии отвечают стационарным точкам действия, но первая серия соответствует минимумам, а вторая - максимумам. Действительно, условие минимальности действия (80) в нашем случае выглядит как  $\cos 2\phi > 0$ . Оно отбирает из двух серий решений только первую, если считать, что  $\phi(0) < \pi/4$  (на самом деле типичный начальный угол порядка  $(D/s)^{1/3} \ll 1$ , поэтому это предположение оправдано). Заметим, что если считать время прохождения  $t$  фиксированным, то все траектории из первой серии имеют одинаковое действие, не зависящее от количества проворотов  $n$ . Нас интересует поведение системы на больших временах, а значит большим должно быть время прохождения траектории  $t \propto \ln(E - U(\phi_m))$ . Это достигается, когда энергия, характеризующая оптимальную траекторию, экспоненциально близка к максимуму потенциала

$$E \approx U(\phi_m) = \frac{3}{2}(n^4 D^4 s^2)^{1/3}. \quad (87)$$

Первый член в (83) не растет со временем, что видно из следующей оценки сверху:

$$\int dt (\dot{\phi})^2 = \int d\phi \sqrt{2(E - U(\phi))} < \pi k \cdot 2 \max \Delta U(\phi). \quad (88)$$

Поэтому мы можем пренебречь им на фоне пропорциональных времени слагаемых. Поскольку наши траектории - полуволны или целые провороты, то второе слагаемое в (83) обращается в ноль.

Итак, инкремент определяется исключительно энергией (а она, в свою очередь, максимумом потенциала)

$$\lambda_{2n} = \frac{3}{2}(n^4 D s^2)^{1/3} + 2n^2 D. \quad (89)$$

Мы воспроизвели ответ, полученный в [21]. Из него следует, в частности, что эффекты сдвигового течения (первое слагаемое) доминируют до  $n \approx s/D$ , а более старшие моменты забывают про него - происходит "изотропизация".

Теперь пойдем дальше и рассмотрим линейную по  $\tau$  поправку к (89). Формально, порядок системы уравнений движения должен возрасти, но, поскольку высшие производные везде входят с малым параметром, то их можно выразить из безынерционного решения

$$\dot{\phi} = \sqrt{2(E - U_0(\phi))}, \quad \ddot{\phi} = -U_0'(\phi) \quad (90)$$

и сохранить порядок уравнения. Инкремент по-прежнему определяется энергией. Она близка к максимуму потенциала, который, однако, изменился.

$$U(\phi_m) = U_0(\phi_m^{(0)} + \delta\phi) + \delta U(\phi_m^{(0)} + \delta\phi) = U_0(\phi_m) + \delta U(\phi_m^{(0)}) + O(\tau^2) \quad (91)$$

Выразим изменение потенциала через  $f_1, f_2$ :

$$\delta U = \delta (2nDf_1 - f_2^2/2) = 2nD\delta f_1 - f_2\delta f_2 \quad (92)$$

Из (42) получаем

$$\begin{aligned} \delta f_1 &= -\tau(Y_1^2 + \dot{Y}_1 - \dot{\phi}^2), \\ \delta f_2 &= -\tau(2Y_1\dot{\phi} + \ddot{\phi}). \end{aligned} \quad (93)$$

Все производные функции  $\phi(t)$  здесь предполагаются выраженными через саму  $\phi(t)$  при помощи (90).

Разберемся с величинами, входящими в выражения (94). Поскольку  $\phi$  подчиняется уравнению  $\ddot{\phi} = -U'(\phi)$ , то в точке максимума потенциала  $\dot{\phi} = 0$ . Поскольку мы предполагаем зазор между энергией и максимумом потенциала маленьким, а  $\dot{\phi} = \sqrt{E - U(\phi)}$ , то  $\dot{\phi}$  тоже можно положить равной нулю в точке максимума потенциала. Подставляя значение  $\phi_{max} = (nD/s)^{1/3}$  в (84), получаем значение  $Y_1$  в точке максимума

$$Y_1 = 2nD + s(nD/s)^{1/3}. \quad (94)$$

Опять, первое слагаемое здесь порождается сдвигом, и доминирует над вторым, порождаемым изотропными флуктуациями, при  $n \ll s/D$ . Используя уравнение (84) и факт, что  $\dot{\phi}(\phi_m) = 0$  заключаем, что в точке максимума потенциала  $\dot{Y}_1 = 0$ .

Собираем все вместе:

$$\begin{aligned} \delta f_2(\phi_m) &= 0, \\ \delta f_1(\phi_m) &= -\tau(2nD + s(nD/s)^{1/3})^2. \end{aligned}$$

Таким образом, мы вычислили поправку к максимуму потенциала, которая и определяет искомую поправку к инкременту роста момента.

$$\delta\lambda_n = \delta E/D = 2n\tau(2nD + s(nD/s)^{1/3})^2 \approx -2n\tau(nDs^2)^{2/3} \quad (95)$$

Можно записать ответ в виде относительной поправки

$$\delta\lambda_n/\lambda_n = -\frac{4}{3}\tau(nDs^2)^{1/3} = -\frac{8}{9n}\tau\lambda_n \quad (96)$$

Заметим, что поправка (95) имеет более сильную зависимость от  $n$ , чем основной ответ (89). Однако, на всем интервале  $n \ll s/D$  она остается много меньше основного ответа, поскольку мы предполагаем  $s\tau \ll 1$ .

## 7 Заключение

В этой работе мы начали изучать динамику инерционных частиц, погруженных в случайный поток со сдвиговой компонентой. Существенная часть информации об асимптотическом поведении системы заключена в статистике вектора  $\mathbf{R}(t)$  между двумя частицами, например в обобщенных Ляпуновских экспонентах (22).

Мы вычислили линейные поправки к Ляпуновской экспоненте и к инкрементам роста старших моментов  $\mathbf{R}$ . Как и ожидалось, поправка к Ляпуновской экспоненте отрицательна и имеет относительный порядок  $\tau\lambda$ , где  $\lambda$  - безынерционная Ляпуновская экспонента. Поправка к инкременту роста  $n$ -го момента имеет порядок  $-n\tau(nDs^2)^{2/3}$ , что означает, что относительная поправка  $\delta\lambda_n/\lambda_n \sim -\tau\lambda_n/n$ .

Теперь скажем немного о том, что предполагается делать в дальнейшем. Ляпуновские экспоненты дают возможность оценить размерность множества, на котором кластеризуются частицы, но для этого нужно вычислить вторую Ляпуновскую экспоненту (сумма которой с первой была равна нулю в безынерционном случае, а при учете инерции определяет отклонение размерности области, занимаемой частицами, от полной размерности пространства).

Мы рассмотрели случай, когда время отклика частицы много меньше и обратной силы флуктуаций, и обратного коэффициента сдвига  $D\tau \ll s\tau \ll 1$ , однако более интересным

с физической точки зрения (и более сложным технически) является случай, когда время отклика частицы много больше, чем коэффициент шира  $D\tau \ll 1 \ll s\tau$ .

Метод, которым мы получили линейную поправку к Ляпуновской экспоненте, использует разложения в ряд теории возмущений по  $\epsilon$ . В принципе, он позволяет получать поправки произвольного порядка и получать зависимость  $\lambda(\epsilon)$  при конечном  $\epsilon$ . Однако при этом может стать существенным непертурбативный вклад, который невозможно получить, суммируя ряд теории возмущения. Работы [2, 17, 6, 19] подтверждают, что в изотропном случае такой вклад есть, и он связан с образованием каустик — сингулярностей поля скорости, при которых разные частицы, находящиеся в одной точке, могут иметь разную скорость. Описание явления в одномерном (сжимаемом) потоке и его вклад в моменты концентрации и расстояния между частицами можно найти в [37]. Пока неясно, играют ли каустики существенную роль в случае сдвигового течения.

Одно из важных допущений, сделанных в нашей работе, это пренебрежение корреляциями поля скорости жидкости во времени. Представляется важным вопрос, может ли конечное время корреляции скорости качественно изменить поведение системы.

## Список литературы

- [1] Sundby S., Fossum P., Feeding conditions of Arcto-Norwegian cod larvae compared with the Rothschild-Osborn theory on small-scale turbulence and planktoncontact rates, *J. Plankton Res.* 12 (1990) 1153-1162.
- [2] G. Falkovich, A. Fouxon, M. G. Stepanov, *Nature* 419, 151-154 (12 September 2002) Acceleration of rain initiation by cloud turbulence
- [3] G. Falkovich, M. Stepanov, M. Vucelja, Rain initiation time in turbulent warm clouds, *Applied Meteorology and Climatology* 45, 591 (2006)
- [4] J. R. Fessler, J. D. Kulick, and J. K. Eaton, Preferential concentration of heavy particles in a turbulent channel flow, *Phys. Fluids* 6, 3742 (1994)
- [5] J. Bec, L. Biferale, G. Boffetta, M. Cencini, S. Musachchio, and F. Toschi, Lyapunov exponents of heavy particles in turbulence, *Phys. Fluids* 18, 091702 (2006)
- [6] Unmixing in random flows, M. Wilkinson, B. Mehlig, S. Ostlund and K. P. Duncan *Physics of fluids* 19, 113303 (2007)
- [7] M. R. Maxey, The gravitational settling of aerosol particles in homogeneous turbulence and random flow fields, *J. Fluid Mech.* 174, 441 (1987)
- [8] J. Bec, R. Chetrite. Toward a phenomenological approach to the clustering of heavy particles in turbulent flows *New J. Phys.* 9, 77, 2007.
- [9] J. Sommerer, E. Ott, Particles floating on a random flow: A dynamically comprehensible physical fractal, *Science* 359, 334 (1993)
- [10] R. H. Kraichnan, Small-scale structure of a scalar field convected by turbulence, *Phys. Fluids* 11, 945-953 (1968)
- [11] Falkovich G., Gawedzki K. and Vergassola M., Particles and fields in fluid turbulence. *Rev. Mod. Phys.* 73 : 913–75 (2001)
- [12] D. Ruelle, Entropy production in nonequilibrium statistical mechanics *Commun. Math. Phys.* 189, 365-371
- [13] Balkovsky E., Falkovich G., Fouxon A., Intermittent distribution of inertial particles in turbulent flows. *Physical Review Letters* 86 : 2790-2793 (2001)
- [14] J. Bec, Multifractal concentrations of inertial particles in smooth random flows, *J. Fluid Mech.* 528, 255-277, 2005

- [15] Wilkinson M., Mehlig B., Path coalescence transition and its applications Phys. Rev. E **68** 040101 (2003).
- [16] Mehlig B., Wilkinson M., Coagulation by Random Velocity Fields as a Kramers Problem Phys. Rev. Lett. **92** 250602 (2004).
- [17] Mehlig B., Wilkinson M., K. Duncan, T.Weber, and M.Ljunggren Aggregation of inertial particles in random flows Phys. Rev. E **72** 051104 (2005).
- [18] J. Bec, M. Cencini, R. Hillerbrand, Heavy particles in incompressible flows: the large Stokes number asymptotics, Physica D 226 (2007) 111122
- [19] Bec J., Cencini M., Hillerbrand R., Turitsyn K. (2007). Stochastic suspensions of heavy particles. Physica D: Nonlinear Phenomena, 237(14-17)
- [20] M. Chertkov, I. Kolokolov, V. Lebedev, K. Turitsyn, Polymer statistics in a random flow with mean shear, J. Fluid Mech., 531, 251-260 (2005); cond-mat/0411705.
- [21] Turitsyn K. S., Polymer dynamics in chaotic flows with a strong shear component, ZhETF **132** 746 (2007) [JETP **105** 655 (2007)].
- [22] Ellis R., Entropy Large Deviations and Statistical Mechanics, Springer Verlag, 1985.
- [23] Falkovich G., Kolokolov I., Lebedev V., and Migdal A., Instantons and Intermittency, Phys. Rev. E **54** 4896 (1996)
- [24] M. Chertkov, G. Falkovich, I. Kolokolov, V. Lebedev, Statistics of a passive scalar advected by a large-scale two-dimensional velocity field: Analytic solution, Phys. Rev. E 51 (6), 5609-5627 (1995); cond-mat/9402062.
- [25] A. Chernykh, V. Lebedev, Passive scalar transport in peripheral regions of random flows, Phys. Rev. E, submitted (2009); arXiv:0912.1695
- [26] M. Chertkov, I. Kolokolov, V. Lebedev, Strong effect of weak diffusion on scalar turbulence at large scales, Phys. Fluids, 19, 101703 (2007); arXiv:0706.2928.
- [27] V.V. Lebedev, K.S. Turitsyn, Passive scalar evolution in peripheral regions, Phys. Rev. E 69, 036301 (2004) (11 pages); nlin/0309019.
- [28] A. Celani, A. Puliafito, K. Turitsyn, Polymers in linear shear flow: A numerical study, Europhys. Lett., 70 (4), 464-470 (2005); nlin/0503029
- [29] A. Puliafito, K. Turitsyn, Numerical study of polymer tumbling in linear shear flows, Physica D 211 (1-2), 9-22 (2005)
- [30] K. J. Falconer, The Geometry of Fractal Sets. (1985)
- [31] Paladin G., Vulpiani A. Anomalous scaling laws in multifractal objects. Physics Reports Review Section Of Physics Letters, 156(4), 147-225. (1987)
- [32] Wilkinson M. Mehlig B., Gustavsson K. Correlation dimension of inertial particles in random flows. EPL (Europhysics Letters), 89(5), p. 50002.(2010)
- [33] Kaplan and Yorke, Chaotic behavior of multidimensional difference equations Functional Differential Equations and Approximation of Fixed Points Lecture Notes in Mathematics, 1979, Volume 730/1979, 204-227
- [34] В.В. Лебедев, Флуктуационные эффекты в макрофизике (курс лекций)
- [35] V. Lebedev, Instantons in the theory of turbulence, Trends in Mathematics, 277-301, 1999
- [36] Balkovsky E., Lebedev V., Instanton for Kraichnan passive scalar problem, Phys. Rev E **58** (1998)
- [37] Derevyanko SA , Falkovich G , Turitsyn K , Turitsyn S , Lagrangian and eulerian descriptions of inertial particles in random flows. Journal of Turbulence, 8:1-18,(2007)